

# Приближение табличных функций

Градиентный метод

Шерухин Кирилл

5030102/30001

СПБПУ

2024

## Содержание

<b>1</b>	<b>Формулировка задачи и ее формализация</b>	<b>2</b>
<b>2</b>	<b>Алгоритм и условия его применимости</b>	<b>2</b>
2.1	Градиентный метод . . . . .	2
2.2	Условия применимости . . . . .	2
<b>3</b>	<b>Предварительный анализ задачи</b>	<b>3</b>
<b>4</b>	<b>Тестовый пример</b>	<b>3</b>
<b>5</b>	<b>Подготовка контрольных тестов</b>	<b>4</b>
<b>6</b>	<b>Модульная структура программы</b>	<b>4</b>
<b>7</b>	<b>Исследование метода</b>	<b>5</b>
<b>8</b>	<b>Вывод</b>	<b>5</b>
<b>9</b>	<b>Визуальные приложения</b>	<b>6</b>

# 1 Формулировка задачи и ее формализация

Дано:

- Симметричная невырожденная произвольная система линейных алгебраических уравнений из  $n$  уравнений и  $n$  неизвестных. ( $AX = B; A = A^T$ )
- Число  $\epsilon > 0$ , означающее допустимую ошибку решения СЛАУ.

Цель: Численно получить решение СЛАУ с заданной точностью  $\epsilon$

План выполнения:

1. Представить данную СЛАУ в матричном виде.
2. Получить решение градиентным методом с необходимой точностью.

## 2 Алгоритм и условия его применимости

### 2.1 Градиентный метод

$\square A \in \mathbb{R}^{n \times n} \ \& \ B \in \mathbb{R}^n : AX = B$

$$F(X) := (AX; X) - 2(B; X)$$

$$g^{(k)} := \nabla F(X^{(k)})$$

$X$  — решение  $\iff X$  — минимум  $F(X)$

$$X^{(k+1)} = X^{(k)} - \alpha_k \nabla F(X^{(k)})$$

$$\alpha_k = \frac{(g^{(k)}; g^{(k)})}{2(Ag^{(k)}; g^{(k)})}$$

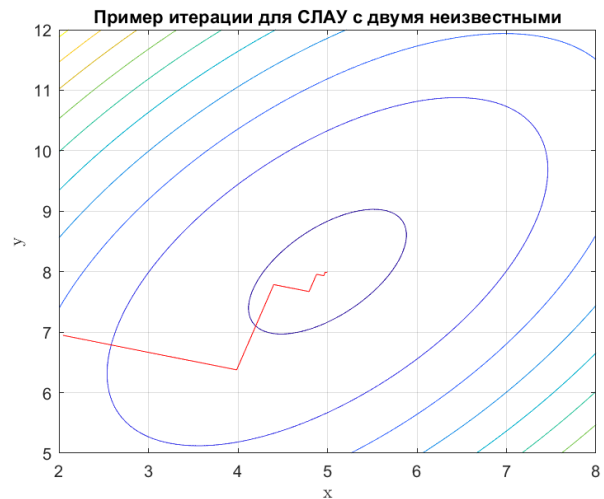
Условия останова:

$$M := \frac{\text{cond}(A) - 1}{\text{cond}(A) + 1}$$

$$\|X^{(k+1)} - X\| \leq \frac{M}{1 - M} \|X^{(k+1)} - X^{(k)}\|$$

### 2.2 Условия применимости

Для градиентного метода необходимо, чтобы коэффициентная матрица  $A$  была симметричная и положительно определённая ( $A = A^T \ \& \ \forall X \in \mathbb{R}^n : X^T A X > 0$ ).



### 3 Предварительный анализ задачи

Перед исследованием градиентного метода стоит убедиться, что матрицы, на которых мы будем его использовать удовлетворяют условиям применимости (т.е. симметричные и положительно определённые), так же стоит помнить, что при работе с большими системами число обусловленности может значительно замедлить сходимость алгоритма. Для удовлетворения условий применимости будем создавать матрицы по формуле:

$$A := Q * \text{diag}(\lambda_0, \dots, \lambda_n) * Q^T$$

Где  $Q$  — ортогональная матрица полученная из произвольной матрицы  $n \times n$   $QR$  разложением. Все нормы векторного пространства будем считать энергетическими нормами по сейчас исследуемой матрице  $A$ . Нормы эвклидовы, ведь  $A$  — положительно определённая.

### 4 Тестовый пример

$$\begin{aligned} \square A &:= \begin{bmatrix} 2 & 1 \\ 1 & 2 \end{bmatrix}; X^{(1)} = \begin{bmatrix} 0 \\ 0 \end{bmatrix}; B = \begin{bmatrix} 1 \\ 2 \end{bmatrix}; \epsilon = 0.5; \text{cond}(A) = 3 \implies M = 0.5 \\ 1 : g^{(1)} &= 2(AX^{(1)} - B) = 2\left(\begin{bmatrix} 2 & 1 \\ 1 & 2 \end{bmatrix} \begin{bmatrix} 0 \\ 0 \end{bmatrix} - \begin{bmatrix} 1 \\ 2 \end{bmatrix}\right) = \begin{bmatrix} -2 \\ -4 \end{bmatrix} \\ \alpha_1 &= \frac{(g^{(1)}; g^{(1)})}{2(Ag^{(1)}; g^{(1)})} = \frac{\begin{bmatrix} -2 & -4 \end{bmatrix} \begin{bmatrix} -2 \\ -4 \end{bmatrix}}{2 \begin{bmatrix} -2 & -4 \end{bmatrix} \begin{bmatrix} 2 & 1 \\ 1 & 2 \end{bmatrix} \begin{bmatrix} -2 \\ -4 \end{bmatrix}} = \frac{20}{2 * 56} \approx 0.1786 \\ X^{(2)} &:= X^{(1)} - \alpha_1 g^{(1)} = \begin{bmatrix} 0 \\ 0 \end{bmatrix} - 0.1786 * \begin{bmatrix} -2 \\ -4 \end{bmatrix} = \begin{bmatrix} 0.3571 \\ 0.7143 \end{bmatrix} \\ \frac{M}{1-M} \|X^{(2)} - X^{(1)}\| &= \left\| \begin{bmatrix} 0.3571 \\ 0.7143 \end{bmatrix} \right\| = \sqrt{\begin{bmatrix} 0.3571 & 0.7143 \end{bmatrix} \begin{bmatrix} 2 & 1 \\ 1 & 2 \end{bmatrix} \begin{bmatrix} 0.3571 \\ 0.7143 \end{bmatrix}} = \\ &= \sqrt{1.7856} = 1.3363 > \epsilon \implies \text{iterate} \\ 2 : g^{(2)} &= 2(AX^{(2)} - B) = 2\left(\begin{bmatrix} 2 & 1 \\ 1 & 2 \end{bmatrix} \begin{bmatrix} 0.3571 \\ 0.7143 \end{bmatrix} - \begin{bmatrix} 1 \\ 2 \end{bmatrix}\right) = 2 \begin{bmatrix} 1.4285 - 1 \\ 1.7857 - 2 \end{bmatrix} = \begin{bmatrix} 0.8570 \\ -0.4286 \end{bmatrix} \\ \alpha_2 &= \frac{(g^{(2)}; g^{(2)})}{2(Ag^{(2)}; g^{(2)})} = \frac{\begin{bmatrix} 0.8570 & -0.4286 \end{bmatrix} \begin{bmatrix} 0.8570 \\ -0.4286 \end{bmatrix}}{2 \begin{bmatrix} 0.4285 & -0.2143 \end{bmatrix} \begin{bmatrix} 2 & 1 \\ 1 & 2 \end{bmatrix} \begin{bmatrix} 0.8570 \\ -0.4286 \end{bmatrix}} = \frac{0.2295}{2 * 0.2754} \approx 0.4167 \\ X^{(3)} &:= X^{(2)} - \alpha_2 g^{(2)} = \begin{bmatrix} 0.3571 \\ 0.7143 \end{bmatrix} - 0.4167 * \begin{bmatrix} 0.8570 \\ -0.4286 \end{bmatrix} = \begin{bmatrix} 0.0000 \\ 0.8929 \end{bmatrix} \\ \frac{M}{1-M} \|X^{(3)} - X^{(2)}\| &= \left\| \begin{bmatrix} 0.3571 \\ -0.1786 \end{bmatrix} \right\| = \sqrt{\begin{bmatrix} 0.3571 & -0.1786 \end{bmatrix} \begin{bmatrix} 2 & 1 \\ 1 & 2 \end{bmatrix} \begin{bmatrix} 0.3571 \\ -0.1786 \end{bmatrix}} = \\ &= \sqrt{0.1913} = 0.4374 < \epsilon \implies \text{result} \end{aligned}$$

$$X \approx \begin{bmatrix} 0.0000 & 0.8929 \end{bmatrix}^T$$

## 5 Подготовка контрольных тестов

Исследовать алгоритм будем по следующим характеристикам:

1. Зависимость нормы ошибки решения от количества итераций для матриц с разными числами обусловленности.  
Ожидаются убывающие зависимости, скорости которых так же зависят от числа обусловленности матриц.
2. Зависимость фактической ошибки  $Err$  от заданной допустимой  $\epsilon$  для матриц с разными числами обусловленности.  
Ожидается, что для всех матриц выполняется  $Err(\epsilon) < \epsilon$ .

Для расчёта фактической ошибки необходимо знать точное решение. Прямо зададим его и будем генерировать матрицы  $A$  и  $B$ , исходя из решения:

$$X = [1, \dots, 30]^T$$

## 6 Модульная структура программы

Программный код оформим на языке C, он будет состоять из:

Структуры для более удобного хранения СЛАУ:

```
typedef struct slae {  
    int size;  
    double** A;  
    double* B;  
} SLAE_t;
```

Самого градиентного метода, принимающего СЛАУ, число обусловленности матрицы, допустимую ошибку, первое предположение решения и дополнительные параметры для логирования решения в каждой итерации:

```
int gradSol(SLAE_t eq, double condA, double eps, double* X_0,  
            FILE* logFile, char to_log);
```

Теста, принимающего информацию о СЛАУ в бинарном формате из файла по пути *in* и возвращающего множество решений для каждой итерации по пути *out* в csv формате:

```
void Sol(char* filename, char* resName, double eps);
```

Теста, принимающего информацию о СЛАУ в бинарном формате из файла по пути *in* и возвращающего множество решений для различных  $\epsilon$  в файл по пути *out* в csv формате:

```
void testConvergence(char* in, char* out);
```

## 7 Исследование метода

Из рис. 1 можно заметить, что, как и ожидалось, все зависимости убывающие. Число обусловленности влияет на скорость сходимости алгоритма, это не удивительно, можно вспомнить условие остановки, где есть  $\frac{M}{1-M}$ . Интересна визуальная "непрерывность" функции по значению  $\|dX\|_{H_A}$ , а значит подобное стоит ожидать и для нормы  $\|\cdot\|_2$  и прочих равносильных им топологически в  $\mathbb{R}^n$ . Скорее всего, это связано с движением против градиента на малое расстояние, для практических целей это наблюдение неважно.

Из рис. 2 можно заметить, что, для всех матриц фактическая ошибка попадает в диапазон, позволенный заданным  $\epsilon$ . Это минимальное условие для использования любого итерационного алгоритма. Интересно заметить, что большее число обусловленности даёт меньшую фактическую ошибку.

## 8 Вывод

Данная реализация градиентного метода обладает довольно строгими условиями: симметричность и положительная определенность матрицы  $A$ . Хотя он и показывает хорошие линейные ассимптотики, при таких условиях стоит рассмотреть использование метода сопряженных направлений, характеристики которого ещё лучше при тех же условиях применимости на матрицу  $A$ .

## 9 Визуальные приложения

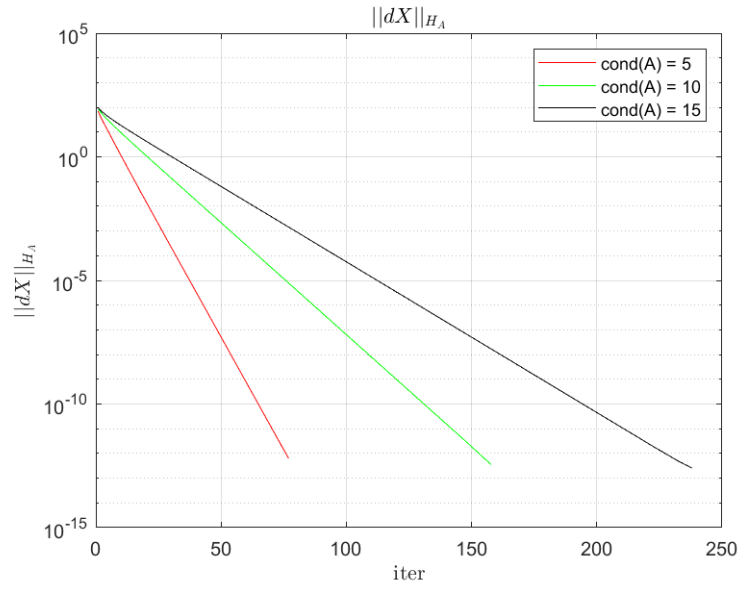


Рис. 1: Зависимость нормы ошибки решения от числа итераций ( $\epsilon = 10^{-12}$ )

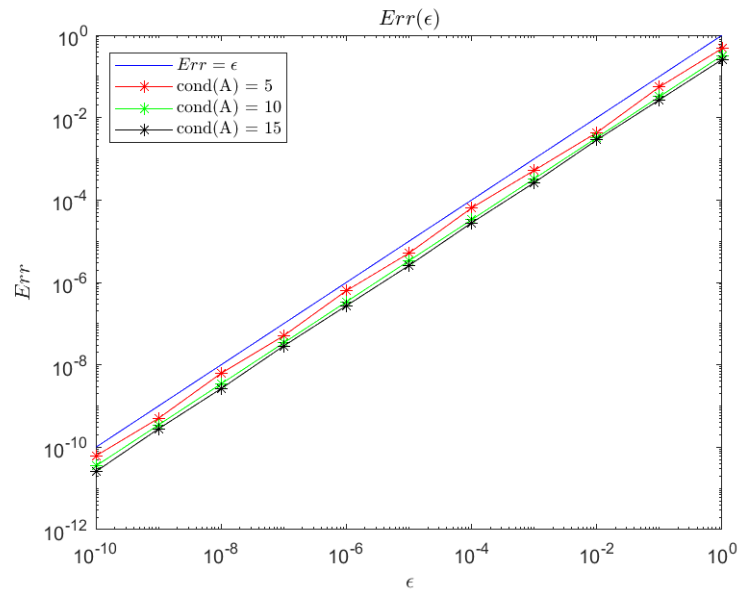


Рис. 2: Зависимость нормы фактической ошибки решения от  $\epsilon$